

## نسبت‌های ناهمسانگردی کشسان در خاک‌های غیر چسبنده و ارزیابی روابط حاکم بر آنها

احسان پگاه\*

۱. استادیار، گروه زمین‌شناسی کاربردی، دانشکده علوم زمین، دانشگاه خوارزمی، تهران، ایران

تاریخ دریافت: ۱۴۰۲/۰۴/۲۵

تاریخ پذیرش: ۱۴۰۲/۰۵/۰۸

### چکیده

نسبت‌های ناهمسانگردی کشسان در خاک‌های غیر چسبنده همواره از اهمیتی حیاتی در بررسی و مطالعات بسیاری از مسائل مرتبط با مهندسی ژئوتکنیک و زمین‌شناسی مهندسی برخوردار بوده‌اند. این نسبت‌ها ناشی از تفاوت‌های موجود در مقادیر پارامترهای ناهمسانگرد کشسان در جهات و صفحات مختلف خاک می‌باشند. هدف اصلی در این مطالعه، شناسایی دامنه تغییرات نسبت‌های ناهمسانگردی حاصل از مدول‌های برشی ناهمسانگرد و مدول‌های یانگ ناهمسانگرد در گستره‌ای از انواع خاک‌های غیر چسبنده و متعاقباً ارزیابی روابط بالقوه میان این دو نوع نسبت ناهمسانگردی می‌باشد. بدین منظور، با فرض وجود همسانگردی عرضی در خاک‌های غیر چسبنده، ضرایب کشسانی ناهمسانگرد حاصل از ۲۶۶ آزمون انجام شده بر روی ۳۷ نمونه متفاوت از ۱۰ نوع ماسه مختلف، که از آزمون‌های آزمایشگاهی سه محوری مرسوم، اندازه‌گیری سرعت‌های امواج لرزه‌ای در آزمایشگاه و شبیه‌سازی‌های عددی به‌دست آمده بودند، از پیشینه تحقیق جمع‌آوری شدند. با طبقه‌بندی اطلاعات گردآوری شده و سپس تجزیه و تحلیل آن‌ها، در نخستین گام، بزرگی نسبت‌های ناهمسانگردی مدول‌های برشی و یانگ برای خاک‌های مورد مطالعه محاسبه گردیدند. در ادامه، با پیاده‌سازی نسبت‌های ناهمسانگردی در مقابل یکدیگر و اجرای یک سری از تحلیل‌های رگرسیونی بر روی نتایج بدست آمده، میزان وابستگی محتمل میان این دو نوع ناهمسانگردی مورد بررسی و ارزیابی قرار گرفت. در آخر، معادلات تشریح کننده روابط میان نسبت‌های ناهمسانگردی مدول برشی و مدول یانگ استخراج شده و بر مبنای آن‌ها به لزوم استفاده از این معادلات به‌جای روابط مشابه قدیمی در پیشینه تحقیق اشاره گردید.

**کلید واژه‌ها:** نسبت ناهمسانگردی مدول برشی، نسبت ناهمسانگردی مدول یانگ، خاک‌های غیر چسبنده، همسانگردی عرضی، نسبت تنش، معادلات تجربی.

## مقدمه

فرایند نهشته شدن رسوبات در طبیعت به گونه‌ای است که اغلب منجر به شکل‌گیری لایه‌هایی از خاک می‌شود که اصالتاً می‌توانند به عنوان محیط‌هایی با ویژگی‌های همسانگردی عرضی بر روی بستر رسوب‌گذاری در نظر گرفته شوند (پگاه، ۱۴۰۲؛ Kong et al., 2013; Pegah et al., 2020; Wang and Mok, 2008; Zamanian et al., 2020). با فرض وجود همسانگردی عرضی در خاک‌های غیر چسبنده، دو مقدار متفاوت برای سختی برشی کشسان یکی در صفحه قائم خاک، که توسط مدول برشی  $G'_{vh}$  (یا  $G'_{hv}$ ) بیان می‌شود، و دیگری در صفحه افقی که توسط مدول برشی  $G'_{hh}$  نشان داده می‌شود موجود می‌باشند. به همین ترتیب، دو مقدار متفاوت نیز برای سختی کشسانی محوری یکی در راستای قائم و دیگری در راستای افقی که به ترتیب با مدول‌های یانگ  $E'_h$  و  $E'_v$  مشخص می‌شوند وجود دارند. با توجه به بالا بودن مقادیر ضریب نفوذپذیری در خاک‌های غیر چسبنده (Das and Sobhan, 2014)، فرایند زهکشی در آن‌ها معمولاً با سرعتی بالا و در یک بازه زمانی کوتاه تکمیل می‌گردد. بر همین اساس است که پارامترهای زهکشی شده در این خاک‌ها در قیاس با پارامترهای زهکشی نشده عملاً از اهمیتی بیشتر و اساسی در کاربردهای واقعی برخوردار هستند. لازم به ذکر است که بالانویس (') در مدول‌های فوق نیز تأکیدی بر مقادیر به‌دست آمده برای آن‌ها تحت شرایط زهکشی شده می‌باشد. مقادیر این مدول‌ها اغلب توسط مجموعه‌ای از اندازه‌گیری‌های مستقیم آزمایشگاهی شامل محاسبه سرعت‌های امواج لرزه‌ای در جهات و صفحات مختلف خاک، آزمون‌های مرسوم سه محوری و پیچشی استاتیکی و دینامیکی بر روی نمونه‌های خاک خشک بازسازی شده تعیین می‌شوند (Das and Ramana, 2011; Ezaoui and Di Benedetto, 2009; Fioravante et al., 2013).

بر مبنای تعریف، نسبت مدول برشی  $G'_{hh}$  در صفحه افقی خاک به مقدار مدول برشی  $G'_{vh}$  در صفحه قائم، یعنی  $G'_{hh}/G'_{vh}$ ، به عنوان درجه ناهمسانگردی برای سختی برشی کشسان یا به اختصار نسبت ناهمسانگردی مدول برشی در نظر گرفته می‌شود (Gu et al., 2017; He et al., 2022; Shi et al., 2021). به ترتیبی مشابه، حاصل نسبت مدول یانگ  $E'_h$  به مدول یانگ  $E'_v$ ، یعنی  $E'_h/E'_v$ ، نیز به عنوان درجه ناهمسانگردی کشسان برای سختی محوری یا به اختصار نسبت ناهمسانگردی مدول یانگ در نظر گرفته می‌شود (Gu et al., 2017; Hoque and Tatsuoka, 2004). بزرگی انحراف این دو کسر از مقدار واحد بیان‌کننده شدت ناهمسانگردی موجود در محیط خاک می‌باشد. ارزیابی دقیق درجه ناهمسانگردی کشسان در خاک‌های غیر چسبنده همواره یکی از مهم‌ترین موضوعات دخیل در مسائل مختلف علوم و مهندسی زمین از جمله ژئوفیزیک، مهندسی ژئوتکنیک، مهندسی معدن و زمین‌شناسی مهندسی بوده است که از اهمیت شایانی در انجام طراحی‌ها و ارزیابی‌های مهندسی برخوردار می‌باشد (Gu et al., 2022; Liu et al., 2022). بر همین مبنا است که هدف اصلی در این مطالعه، شناسایی بازه تغییرات درجه ناهمسانگردی‌های مدول برشی و یانگ در گستره‌ای از انواع خاک‌های غیر چسبنده و در نهایت بررسی احتمال و میزان وابستگی موجود میان این دو نوع ناهمسانگردی از طریق ارزیابی روابط توصیف‌کننده این وابستگی می‌باشد. در این ارتباط، گو و همکاران (Gu et al., 2017) بر پایه یک سری از نتایج به‌دست آمده از آزمایشات عددی نشان دادند که نسبت ناهمسانگردی مدول برشی دارای یک رابطه توانی با نسبت ناهمسانگردی مدول یانگ به صورت زیر می‌باشد:

$$\frac{G'_{hh}}{G'_{vh}} = \left(\frac{E'_h}{E'_v}\right)^{0.5}; \text{ or, } \frac{E'_h}{E'_v} = \left(\frac{G'_{hh}}{G'_{vh}}\right)^{2.0} \quad (1)$$

لازم به ذکر است که این معادله اولین بار توسط گراهام و هولسی (Graham and Houlsby, 1983) و تنها بر مبنای یک سری از فرضیات ریاضی بدون هیچ پشتیبانی آزمایشگاهی ارائه گردید. بر همین اساس گو و همکاران (Gu et al., 2017) تلاش نمودند تا اعتبار این رابطه را برای خاک‌های غیر چسبنده به واسطه انجام یک سری از آزمون‌های عددی سه‌محوری زهکشی شده و برشی ساده توسط روش المان گسسته بررسی کنند. آن‌ها آزمون‌ها را در یک محدوده کرنشی بسیار کوچک تحت شرایط تحکیم همسانگرد و ناهمسانگرد در ۲۴ حالت تنش متفاوت انجام دادند و معادله (۱) را تصدیق نمودند. با این حال، قابلیت اطمینان و صحت نهایی این معادله به واسطه عدم راستی آزمایشی صورت گرفته توسط داده‌های واقعی می‌تواند کماکان مورد تردید قرار گرفته یا دارای خطا باشد. بر همین اساس، همانگونه که در بالا نیز اشاره گردید، ارزیابی اعتبار و تصحیح معادله فوق بر مبنای داده‌های واقعی یکی از اهداف مدنظر در این مطالعه می‌باشد. برای این منظور، در اولین تلاش، با استخراج مقادیر چهار ثابت کشسانی ناهمسانگرد  $G'_{hh}$ ،  $G'_{vh}$ ،  $E'_h$  و  $E'_v$  از مقالات ارائه شده در پیشینه تحقیق، یک پایگاه داده نسبتاً جامع از مقادیر مدول‌های برشی و یانگ ناهمسانگرد در خاک‌های غیر چسبنده ایجاد گردید. در ادامه، با محاسبه نسبت‌های  $E'_h/E'_v$  و  $G'_{hh}/G'_{vh}$  برای هر نوع خاک به طور جداگانه، بزرگی درجه‌های ناهمسانگردی برای ناهمسانگردی‌های مدول برشی و یانگ به ترتیب تعیین شدند. متعاقباً، با اجرای یک سری از تحلیل‌های رگرسیونی بر روی زوج داده‌های  $E'_h/E'_v$  و  $G'_{hh}/G'_{vh}$  میان وابستگی میان این دو نسبت شناسایی شده و روابط بالقوه فی‌مابین استنتاج گردیدند. با توجه به پایه‌گذاری این روابط بر مبنای داده‌های واقعی آزمایشگاهی، در انتها، بر لزوم جایگزینی آن‌ها با معادلات مشابه قدیمی ارائه شده در مطالعات پیشین که از عدم حمایت یا پشتیبانی کافی توسط داده‌های واقعی رنج می‌برند تأکید گردید.

### مدل همسانگرد عرضی کشسان

مدل کشسانی همسانگرد عرضی یک مدل بسیار محبوب می‌باشد که بر مبنای یک نظریه مستحکم و کاملاً دقیق ایجاد گردیده است. این مدل به طور گسترده در بررسی‌ها و مطالعات مهندسی ژئوتکنیک و زمین‌شناسی مهندسی به منظور کشف و شناسایی یک سری از ویژگی‌های اساسی خاک در کرنش‌های کوچک مورد استفاده قرار می‌گیرد (Ezaoui and Di Benedetto, 2009; Fioravante et al., 2013; Gu et al., 2023; Kuwano and Jardine, 2002; Otsubo et al., 2020; Pegah et al., 2017; 2021, 2022). به‌طور کلی، بسته به وضعیت اشباع و شرایط زهکشی در یک توده خاک، دو مدل کشسانی همسانگرد عرضی می‌توانند بر حسب ثابت‌های کشسان زهکشی شده (بر مبنای تنش موثر) و زهکشی نشده (بر مبنای تنش کل) در نظر گرفته شوند. با این وجود، چون خاک‌های دانه‌ای به شدت نفوذپذیر هستند و فرآیند زهکشی در آن‌ها غالباً به سرعت تکمیل می‌گردد، بنابراین مدل مبتنی بر تنش موثر، صرفنظر از وضعیت اشباع، از اهمیت قابل ملاحظه‌ای در عمل برخوردار است (Das, 2008; Das and Sobhan, 2014; Pegah et al., 2022). بر همین اساس، با فرض شرایط زهکشی شده، معادلات ساختاری تغییرات تنش-کرنش در یک محیط خاکی همسانگرد عرضی را می‌توان از قانون عمومی هوک به صورت زیر بیان کرد:

$$\begin{bmatrix} \Delta \varepsilon_x \\ \Delta \varepsilon_y \\ \Delta \varepsilon_z \\ \Delta \gamma_{xy} \\ \Delta \gamma_{yz} \\ \Delta \gamma_{zx} \end{bmatrix} = \begin{bmatrix} \frac{1}{E'_h} & \frac{-\nu'_{hh}}{E'_h} & \frac{-\nu'_{vh}}{E'_v} & 0 & 0 & 0 \\ \frac{-\nu'_{hh}}{E'_h} & \frac{1}{E'_h} & \frac{-\nu'_{vh}}{E'_v} & 0 & 0 & 0 \\ \frac{-\nu'_{hv}}{E'_h} & \frac{-\nu'_{hv}}{E'_h} & \frac{1}{E'_v} & 0 & 0 & 0 \\ 0 & 0 & 0 & \frac{1}{G'_{hh}} & 0 & 0 \\ 0 & 0 & 0 & 0 & \frac{1}{G'_{hv}} & 0 \\ 0 & 0 & 0 & 0 & 0 & \frac{1}{G'_{vh}} \end{bmatrix} \begin{bmatrix} \Delta \sigma'_x \\ \Delta \sigma'_y \\ \Delta \sigma'_z \\ \Delta \tau_{xy} \\ \Delta \tau_{yz} \\ \Delta \tau_{zx} \end{bmatrix} \quad (2)$$

که  $x$  و  $y$  بیانگر جهت‌های افقی و  $z$  نشان دهنده جهت عمودی، قائم بر صفحه افقی  $x-y$  است. ویژگی‌های مکانیکی در سراسر این صفحه مقادیر همسانگردی را بر خلاف آنچه که در راستای محور  $z$  مشاهده می‌شود نشان می‌دهند. بر همین اساس، این صفحه معمولاً به عنوان صفحه همسانگردی با محور تقارن  $z$  به عنوان محور ناهمسانگردی شناخته می‌شود. پارامترهای  $E'_v$  و  $E'_h$  در معادله (۲) به ترتیب معرفی‌کننده مدول‌های یانگ زهکشی شده در جهات قائم و افقی می‌باشند، و  $\nu'_{hv}$  و  $\nu'_{vh}$  می‌باشند. به همین ترتیب،  $G'_{hv}$  و  $G'_{vh}$  نیز نشان دهنده مدول‌های برشی زهکشی شده در صفحه قائم درحالی‌که  $G'_{hh}$  معرف مدول برشی زهکشی شده در صفحه افقی است. عبارات  $\Delta \varepsilon_x$ ،  $\Delta \varepsilon_y$  و  $\Delta \varepsilon_z$  تغییرات کرنش‌های قائم را به عنوان تابعی از تغییرات تنش‌های موثر قائم  $\Delta \sigma'_x$ ،  $\Delta \sigma'_y$  و  $\Delta \sigma'_z$  نشان می‌دهند، و  $\Delta \gamma_{xy}$ ،  $\Delta \gamma_{yz}$  و  $\Delta \gamma_{zx}$  تغییرات کرنش‌های برشی حاصل از تغییرات تنش‌های برشی  $\Delta \tau_{xy}$ ،  $\Delta \tau_{yz}$  و  $\Delta \tau_{zx}$  هستند.

هشت پارامتر کشسان مذکور ( $E'_h$ ،  $E'_v$ ،  $\nu'_{hh}$ ،  $\nu'_{hv}$ ،  $\nu'_{vh}$ ،  $G'_{hh}$  و  $G'_{hv}$ ) در بالا از طریق معادلات زیر و بر مبنای نظریه کشسانی به یکدیگر مرتبط هستند به طوری‌که در نهایت تعداد آن‌ها به پنج پارامتر مستقل به صورت  $E'_v$ ،  $\nu'_{hv}$  (یا  $\nu'_{vh}$ )،  $G'_{vh}$  (یا  $G'_{hv}$ ) و دو ضریب از  $E'_h$ ،  $\nu'_{hh}$  و  $G'_{hh}$  کاهش می‌یابند (Nishimura, 2014; Pegah et al., 2022):

$$G'_{vh} = G'_{hv} \quad (3)$$

$$\frac{\nu'_{vh}}{E'_v} = \frac{\nu'_{hv}}{E'_h} \quad (4)$$

$$G'_{hh} = \frac{E'_h}{2(1+\nu'_{hh})} \quad (5)$$

### تولید یک پایگاه داده از مدول‌های برشی و یانگ همسانگرد عرضی برای خاک‌های غیر چسبنده

به منظور شناسایی و تجزیه و تحلیل درجه‌های ناهمسانگردی سختی برشی و سختی محوری در خاک‌های غیر چسبنده، مقادیر اندازه‌گیری شده مدول‌های برشی و یانگ ناهمسانگرد برای تعداد قابل توجهی از انواع خاک‌های ماسه‌ای، از نتایج

آزمون‌های آزمایشگاهی و عددی گزارش شده در پیشینه تحقیق استخراج گردیدند. در این راستا، داده‌های حاصل از مطالعات دوتا و همکاران (Dutta et al., 2020)، فیوراوانته و همکاران (Fioravante et al., 2013)، ازائوی و دی‌بندتو (Ezaoui and Di Benedetto, 2009)، کووانو و جاردین (Kuвано and Jardine, 2002)، فیوراوانته (Fioravante, 2000)، کووانو (Kuвано, 1999) و بلوتی و همکاران (Bellotti et al., 1996) که بر مبنای ترکیبی از اندازه‌گیری‌های دینامیکی و استاتیکی به واسطه محاسبه سرعت‌های امواج لرزه‌ای و تعیین نمودارهای تنش-کرنش حاصل از آزمون‌های سه‌محوری بدست آمده بودند، با مقادیر نتیجه شده از مطالعات عددی گو و همکاران (Gu et al., 2017) ترکیب شدند، تا یک پایگاه داده جامع از پارامترهای کشسانی ناهمسانگرد در خاک‌های ماسه‌ای تولید گردد. به طور کلی، این پایگاه داده دربرگیرنده نتایج حاصل از انجام ۲۶۶ آزمون اجرا شده تحت شرایط تنش گوناگون بر روی ۳۷ نمونه مختلف از ۱۰ نوع ماسه متمایز می‌باشد. در جدول ۱، مقادیر کمی چهار ضریب کشسانی  $E'_h$ ،  $E'_v$ ،  $G'_{hh}$ ،  $G'_{vh}$  به همراه اطلاعات بیان‌کننده شرایط بارگذاری و منابع منتسب، برای کلیه نمونه‌های آزمایش شده نشان داده شده‌اند. لازم به ذکر است که عبارات  $\sigma'_h$  و  $\sigma'_v$  به ترتیب بیانگر مقادیر تنش‌های موثر قائم و افقی حاکم بر نمونه‌ها در طول فرایند اجرای آزمایش می‌باشند.

جدول ۱. پایگاه داده تولید شده حاوی مدول‌های برشی و بانگ ناهمسانگرد برای خاک‌های غیر چسبیده

Table 1. The generated database containing anisotropic shear and Young's moduli for cohesionless soils

| Soil type                     | Test/sample name        | $\sigma'_v$ (kPa) | $\sigma'_h$ (kPa) | $G'_{hh}$ (MPa) | $G'_{vh}$ (MPa) | $E'_h$ (kPa) | $E'_v$ (kPa) | Reference           |
|-------------------------------|-------------------------|-------------------|-------------------|-----------------|-----------------|--------------|--------------|---------------------|
| Toyoura sand                  | TS                      | 30                | 30                | 73.8            | 59.0            | 170.7        | 139.3        | Dutta et al. (2020) |
|                               |                         | 50                | 50                | 88.9            | 71.3            | 204.6        | 166.9        |                     |
|                               |                         | 100               | 100               | 122.4           | 101.5           | 274.3        | 242.3        |                     |
|                               |                         | 200               | 200               | 159.6           | 131.4           | 355.9        | 308.8        |                     |
|                               |                         | 400               | 400               | 216.9           | 177.7           | 480.1        | 413.0        |                     |
| Kashima river sand            | RS                      | 30                | 30                | 60.9            | 61.3            | 170.6        | 138.5        |                     |
|                               |                         | 50                | 50                | 79.7            | 76.3            | 219.5        | 170.6        |                     |
|                               |                         | 100               | 100               | 108.9           | 102.6           | 299.0        | 221.7        |                     |
|                               |                         | 200               | 200               | 148.7           | 140.2           | 404.0        | 325.2        |                     |
|                               |                         | 400               | 400               | 203.1           | 191.5           | 553.4        | 436.0        |                     |
| Glass beads                   | GB                      | 30                | 30                | 63.0            | 55.9            | 169.2        | 132.7        |                     |
|                               |                         | 50                | 50                | 86.3            | 75.9            | 231.9        | 169.2        |                     |
|                               |                         | 100               | 100               | 121.7           | 113.5           | 328.1        | 277.1        |                     |
|                               |                         | 200               | 200               | 165.2           | 154.2           | 449.9        | 367.5        |                     |
|                               |                         | 400               | 400               | 225.2           | 203.3           | 593.5        | 481.3        |                     |
| Toyoura sand simulated by DEM | triaxial extension (TE) | 45                | 100               | 140.1           | 106.1           | 357.8        | 205.7        | Gu et al. (2017)    |
|                               |                         | 47                | 100               | 143.1           | 110.9           | 363.9        | 223.0        |                     |
|                               |                         | 50                | 100               | 146.6           | 116.9           | 373.0        | 245.3        |                     |
|                               |                         | 60                | 100               | 154.4           | 133.1           | 393.2        | 305.1        |                     |
|                               |                         | 70                | 100               | 159.7           | 144.9           | 404.4        | 347.6        |                     |
|                               |                         | 81                | 100               | 162.8           | 153.7           | 412.5        | 377.0        |                     |

|               |                                 |     |     |       |       |       |       |                                |
|---------------|---------------------------------|-----|-----|-------|-------|-------|-------|--------------------------------|
|               | triaxial<br>compression<br>(TC) | 120 | 100 | 169.0 | 172.8 | 425.7 | 449.0 |                                |
|               |                                 | 140 | 100 | 168.5 | 177.6 | 425.7 | 471.3 |                                |
|               |                                 | 160 | 100 | 167.0 | 180.1 | 421.6 | 487.5 |                                |
|               |                                 | 180 | 100 | 162.8 | 180.4 | 408.4 | 500.7 |                                |
|               |                                 | 190 | 100 | 159.2 | 180.1 | 399.3 | 504.7 |                                |
|               |                                 | 200 | 100 | 155.2 | 178.1 | 389.2 | 507.8 |                                |
|               |                                 | 210 | 100 | 150.4 | 175.6 | 374.0 | 506.8 |                                |
|               |                                 | 220 | 100 | 143.1 | 171.6 | 355.7 | 502.7 |                                |
|               |                                 | 230 | 100 | 133.3 | 165.0 | 327.4 | 494.6 |                                |
|               |                                 | 240 | 100 | 121.0 | 154.2 | 291.9 | 474.3 |                                |
| Kenya<br>sand | 461                             | 50  | 25  | 35.1  | 36.6  | 85.5  | 111.0 | Fioravante<br>et al.<br>(2013) |
|               |                                 | 100 | 50  | 50.1  | 52.8  | 121.2 | 157.6 |                                |
|               |                                 | 150 | 75  | 61.9  | 65.6  | 149.0 | 193.8 |                                |
|               |                                 | 200 | 100 | 71.8  | 76.4  | 172.4 | 224.3 |                                |
|               |                                 | 251 | 125 | 80.8  | 86.2  | 193.3 | 251.6 |                                |
|               |                                 | 300 | 150 | 88.8  | 95.0  | 212.0 | 276.2 |                                |
|               |                                 | 350 | 175 | 96.1  | 103.1 | 229.2 | 298.6 |                                |
|               |                                 | 400 | 200 | 103.1 | 110.7 | 245.2 | 319.7 |                                |
|               |                                 | 450 | 225 | 109.5 | 117.8 | 260.3 | 339.4 |                                |
|               |                                 | 500 | 250 | 115.8 | 124.8 | 275.0 | 358.6 |                                |
|               |                                 | 549 | 275 | 121.6 | 131.2 | 288.4 | 376.2 |                                |
|               |                                 | 599 | 300 | 127.5 | 137.7 | 301.9 | 394.0 |                                |
|               | 460                             | 50  | 51  | 45.7  | 40.6  | 113.7 | 90.5  |                                |
|               |                                 | 100 | 100 | 67.0  | 59.3  | 165.0 | 131.3 |                                |
|               |                                 | 150 | 151 | 84.2  | 74.4  | 206.2 | 164.0 |                                |
|               |                                 | 200 | 200 | 98.9  | 87.2  | 240.9 | 191.6 |                                |
|               |                                 | 249 | 250 | 112.0 | 98.6  | 271.9 | 216.1 |                                |
|               |                                 | 300 | 300 | 124.2 | 109.3 | 300.9 | 239.2 |                                |
|               |                                 | 350 | 351 | 135.5 | 119.1 | 327.5 | 260.2 |                                |
|               |                                 | 400 | 400 | 146.3 | 128.4 | 352.6 | 280.2 |                                |
|               |                                 | 450 | 450 | 156.3 | 137.2 | 376.2 | 298.9 |                                |
|               |                                 | 499 | 500 | 165.9 | 145.5 | 398.6 | 316.8 |                                |
|               |                                 | 549 | 550 | 175.0 | 153.4 | 419.8 | 333.5 |                                |
|               |                                 | 599 | 599 | 183.9 | 161.1 | 440.5 | 350.0 |                                |
|               | 469                             | 25  | 50  | 45.7  | 37.4  | 114.7 | 70.6  |                                |
|               |                                 | 50  | 100 | 67.6  | 54.1  | 169.6 | 95.6  |                                |
|               |                                 | 75  | 150 | 85.0  | 67.1  | 213.0 | 114.2 |                                |
|               |                                 | 100 | 200 | 100.2 | 78.3  | 250.9 | 129.6 |                                |
|               |                                 | 125 | 250 | 113.7 | 88.2  | 284.5 | 142.8 |                                |
|               |                                 | 151 | 300 | 126.6 | 97.6  | 316.6 | 155.2 |                                |

|  |     |             |             |       |       |       |       |  |       |       |
|--|-----|-------------|-------------|-------|-------|-------|-------|--|-------|-------|
|  |     | 174         | 350         | 137.9 | 105.8 | 344.6 | 165.7 |  |       |       |
|  |     | 200         | 400         | 149.1 | 113.9 | 372.6 | 176.1 |  |       |       |
|  | 463 | 50          | 25          | 57.8  | 54.6  | 126.3 | 121.0 |  |       |       |
|  |     | 100         | 51          | 81.5  | 75.9  | 177.7 | 172.3 |  |       |       |
|  |     | 150         | 75          | 99.1  | 91.6  | 215.8 | 210.6 |  |       |       |
|  |     | 200         | 100         | 114.1 | 104.7 | 248.1 | 243.4 |  |       |       |
|  |     | 250         | 125         | 127.4 | 116.4 | 276.8 | 272.6 |  |       |       |
|  |     | 300         | 150         | 139.4 | 126.9 | 302.6 | 298.9 |  |       |       |
|  |     | 350         | 175         | 150.3 | 136.5 | 326.4 | 323.2 |  |       |       |
|  |     | 400         | 200         | 160.7 | 145.4 | 348.6 | 346.1 |  |       |       |
|  |     | 449         | 225         | 170.2 | 153.6 | 369.0 | 367.1 |  |       |       |
|  |     | 500         | 250         | 179.5 | 161.7 | 389.1 | 387.8 |  |       |       |
|  |     | 550         | 275         | 188.0 | 169.0 | 407.3 | 406.7 |  |       |       |
|  |     | 599         | 300         | 196.4 | 176.2 | 425.4 | 425.4 |  |       |       |
|  |     | 462         | 49          | 51    | 75.0  | 61.8  | 177.3 |  | 141.7 |       |
|  | 100 |             | 101         | 106.3 | 86.8  | 247.6 | 194.7 |  |       |       |
|  | 151 |             | 152         | 130.5 | 106.0 | 301.2 | 234.8 |  |       |       |
|  | 201 |             | 201         | 150.3 | 121.6 | 344.7 | 267.1 |  |       |       |
|  | 250 |             | 250         | 167.8 | 135.4 | 382.8 | 295.3 |  |       |       |
|  | 300 |             | 301         | 184.1 | 148.2 | 418.1 | 321.3 |  |       |       |
|  | 350 |             | 351         | 199.2 | 160.0 | 450.6 | 345.2 |  |       |       |
|  | 400 |             | 401         | 213.1 | 170.9 | 480.4 | 367.1 |  |       |       |
|  | 449 |             | 450         | 225.8 | 180.8 | 507.8 | 387.1 |  |       |       |
|  | 499 |             | 500         | 238.1 | 190.4 | 534.0 | 406.3 |  |       |       |
|  | 549 |             | 549         | 249.7 | 199.4 | 558.9 | 424.5 |  |       |       |
|  | 599 |             | 600         | 261.2 | 208.3 | 583.3 | 442.2 |  |       |       |
|  | 466 |             | 13          | 25    | 54.5  | 43.3  | 121.6 |  | 72.3  |       |
|  |     | 26          | 51          | 77.0  | 59.6  | 176.7 | 99.2  |  |       |       |
|  |     | 50          | 100         | 106.6 | 80.5  | 251.0 | 133.6 |  |       |       |
|  |     | 76          | 151         | 131.0 | 97.4  | 313.0 | 161.2 |  |       |       |
|  |     | 100         | 200         | 150.3 | 110.6 | 362.8 | 182.7 |  |       |       |
|  |     | 126         | 250         | 168.1 | 122.7 | 408.8 | 202.3 |  |       |       |
|  |     | 150         | 299         | 183.6 | 133.1 | 449.1 | 219.1 |  |       |       |
|  |     | 175         | 350         | 198.5 | 143.1 | 488.0 | 235.2 |  |       |       |
|  |     | 200         | 401         | 212.0 | 152.1 | 523.5 | 249.6 |  |       |       |
|  |     | 225         | 450         | 224.8 | 160.6 | 557.3 | 263.3 |  |       |       |
|  |     | 250         | 500         | 236.5 | 168.2 | 588.2 | 275.7 |  |       |       |
|  |     | 275         | 549         | 248.0 | 175.8 | 618.6 | 287.7 |  |       |       |
|  |     | Hostun sand | TC_H400.82p | 50    | 50    | 71.4  | 62.9  |  | 162.8 | 147.3 |
|  | 100 |             |             | 100   | 96.0  | 82.5  | 218.9 |  | 195.1 |       |

|     |               |      |       |       |       |       |       |                     |
|-----|---------------|------|-------|-------|-------|-------|-------|---------------------|
|     |               | 200  | 200   | 126.8 | 115.1 | 301.7 | 267.5 | Benedetto<br>(2009) |
|     |               | 400  | 400   | 169.0 | 151.6 | 415.7 | 367.7 |                     |
|     |               | 600  | 400   | 178.1 | 173.3 | 437.8 | 467.4 |                     |
|     |               | 800  | 400   | 183.6 | 191.5 | 436.9 | 531.1 |                     |
|     |               | 1200 | 400   | 163.3 | 215.4 | 372.3 | 669.5 |                     |
|     |               | 1200 | 400   | 155.8 | 220.7 | 361.2 | 662.2 |                     |
|     |               | 800  | 400   | 157.0 | 189.4 | 364.0 | 580.9 |                     |
|     |               | 600  | 400   | 152.4 | 177.4 | 356.6 | 484.9 |                     |
|     |               | 400  | 400   | 152.2 | 150.6 | 362.2 | 388.0 |                     |
|     | TE_H400.80p   | 100  | 100   | 102.8 | 85.2  | 226.2 | 195.4 |                     |
|     |               | 200  | 200   | 126.8 | 116.6 | 309.6 | 271.9 |                     |
|     |               | 300  | 300   | 147.0 | 139.6 | 355.6 | 327.6 |                     |
|     |               | 400  | 400   | 167.1 | 160.6 | 400.9 | 383.4 |                     |
|     |               | 300  | 400   | 169.0 | 151.3 | 399.1 | 325.2 |                     |
|     |               | 200  | 400   | 167.1 | 124.1 | 400.9 | 235.7 |                     |
|     |               | 200  | 400   | 170.3 | 114.3 | 412.0 | 190.5 |                     |
|     |               | 300  | 400   | 170.3 | 127.9 | 412.0 | 231.1 |                     |
|     |               | 400  | 400   | 170.3 | 142.5 | 412.0 | 282.8 |                     |
|     | TC_H400.73p+v | 100  | 100   | 110.7 | 99.0  | 254.4 | 240.2 |                     |
|     |               | 200  | 200   | 152.4 | 134.2 | 347.2 | 309.1 |                     |
|     |               | 400  | 400   | 208.9 | 181.5 | 480.3 | 431.1 |                     |
|     |               | 800  | 400   | 208.3 | 226.1 | 491.4 | 597.2 |                     |
|     |               | 1200 | 400   | 205.7 | 241.4 | 485.2 | 721.5 |                     |
|     |               | 1600 | 400   | 180.2 | 255.3 | 436.0 | 778.2 |                     |
|     |               | 1600 | 400   | 167.9 | 245.3 | 392.9 | 808.9 |                     |
|     |               | 1200 | 400   | 164.8 | 224.4 | 395.4 | 751.1 |                     |
|     |               | 800  | 400   | 158.9 | 200.2 | 384.3 | 615.7 |                     |
|     | TE_H400.74p+v | 400  | 400   | 157.6 | 170.7 | 378.2 | 418.8 |                     |
|     |               | 200  | 200   | 135.2 | 130.0 | 337.8 | 308.0 |                     |
|     |               | 300  | 300   | 165.5 | 155.1 | 416.7 | 377.0 |                     |
|     |               | 400  | 400   | 190.7 | 181.0 | 469.2 | 431.1 |                     |
|     |               | 300  | 400   | 191.3 | 166.0 | 474.2 | 364.6 |                     |
|     |               | 200  | 400   | 192.1 | 141.2 | 480.3 | 271.1 |                     |
|     |               | 200  | 400   | 205.7 | 122.0 | 497.5 | 213.2 |                     |
|     |               | 300  | 400   | 215.3 | 140.4 | 503.7 | 261.2 |                     |
|     | TC_H400.74p+t | 400  | 400   | 212.0 | 157.1 | 496.3 | 306.8 |                     |
| 100 |               | 100  | 96.2  | 99.2  | 217.4 | 234.9 |       |                     |
| 200 |               | 200  | 127.2 | 130.3 | 284.8 | 322.9 |       |                     |
| 400 |               | 400  | 176.9 | 185.8 | 404.0 | 437.2 |       |                     |
|     |               | 800  | 400   | 187.2 | 240.1 | 422.5 | 583.7 |                     |



|                      |                          |      |     |       |       |       |       |       |       |
|----------------------|--------------------------|------|-----|-------|-------|-------|-------|-------|-------|
|                      |                          | 1200 | 400 | 178.7 | 252.8 | 400.3 | 726.5 |       |       |
|                      |                          | 1600 | 400 | 158.4 | 255.5 | 354.8 | 897.1 |       |       |
|                      |                          | 1200 | 400 | 153.9 | 241.7 | 347.4 | 760.9 |       |       |
|                      |                          | 400  | 400 | 149.1 | 180.5 | 332.6 | 448.3 |       |       |
|                      | TE_H400.73p+t            | 200  | 200 | 129.8 | 134.6 | 293.2 | 322.9 |       |       |
|                      |                          | 300  | 300 | 151.1 | 155.1 | 335.4 | 383.6 |       |       |
|                      |                          | 400  | 400 | 171.2 | 172.4 | 388.0 | 436.0 |       |       |
|                      |                          | 300  | 400 | 170.4 | 160.2 | 390.5 | 384.3 |       |       |
|                      |                          | 200  | 400 | 172.5 | 144.4 | 389.2 | 283.4 |       |       |
|                      |                          | 200  | 400 | 170.8 | 109.4 | 385.5 | 215.7 |       |       |
|                      |                          | 300  | 400 | 174.3 | 124.4 | 390.5 | 271.1 |       |       |
|                      |                          | 400  | 400 | 171.2 | 163.8 | 388.0 | 331.4 |       |       |
|                      | Ham river sand (new-HRS) | H304 | 84  | 79    | 80.9  | 77.2  | 190.0 |       | 225.0 |
|                      |                          |      | 125 | 118   | 96.3  | 93.2  | 215.0 |       | 280.0 |
| 166                  |                          |      | 158 | 115.4 | 111.1 | 250.0 | 320.0 |       |       |
| 208                  |                          |      | 197 | 130.9 | 125.3 | 290.0 | 370.0 |       |       |
| 311                  |                          |      | 295 | 157.4 | 151.4 | 380.0 | 460.0 |       |       |
| 414                  |                          |      | 393 | 188.9 | 177.8 | 430.0 | 560.0 |       |       |
| H935                 |                          | 84   | 79  | 92.7  | 86.0  | 220.0 | 280.0 |       |       |
|                      |                          | 125  | 119 | 118.0 | 114.3 | 260.0 | 300.0 |       |       |
|                      |                          | 166  | 158 | 135.0 | 124.2 | 320.0 | 360.0 |       |       |
|                      |                          | 208  | 197 | 155.0 | 140.9 | 360.0 | 420.0 |       |       |
|                      |                          | 311  | 295 | 182.0 | 173.3 | 450.0 | 540.0 |       |       |
|                      |                          | 415  | 394 | 218.1 | 196.1 | 570.0 | 640.0 |       |       |
| H601                 |                          | 67   | 31  | 62.4  | 72.0  | 130.0 | 260.0 |       |       |
|                      |                          | 126  | 58  | 87.1  | 96.7  | 190.0 | 330.0 |       |       |
|                      |                          | 189  | 86  | 103.9 | 119.4 | 220.0 | 410.0 |       |       |
|                      |                          | 252  | 114 | 118.7 | 137.9 | 250.0 | 460.0 |       |       |
|                      |                          | 314  | 143 | 131.0 | 154.7 | 280.0 | 520.0 |       |       |
| H508                 |                          | 67   | 28  | 49.2  | 61.5  | 100.0 | 200.0 |       |       |
|                      |                          | 127  | 57  | 68.6  | 83.5  | 140.0 | 250.0 |       |       |
|                      |                          | 190  | 85  | 83.0  | 100.4 | 180.0 | 330.0 |       |       |
|                      |                          | 253  | 114 | 96.3  | 114.8 | 205.0 | 370.0 |       |       |
|                      |                          | 316  | 143 | 105.0 | 128.6 | 230.0 | 420.0 |       |       |
| Dunkerque sand (DKS) |                          | D902 | 86  | 31    | 79.6  | 74.4  | 170.0 | 290.0 |       |
|                      |                          |      | 141 | 50    | 99.2  | 92.3  | 220.0 | 350.0 |       |
|                      | 211                      |      | 75  | 122.6 | 113.0 | 250.0 | 440.0 |       |       |
|                      | 281                      |      | 100 | 140.5 | 130.2 | 290.0 | 500.0 |       |       |
|                      | 351                      |      | 124 | 159.8 | 148.8 | 330.0 | 580.0 |       |       |
|                      | 270                      |      | 112 | 142.9 | 131.6 | 300.0 | 520.0 |       |       |

Kuwano and Jardine (2002);  
Kuwano (1999)

|                  |             |              |     |       |       |       |       |  |       |                   |
|------------------|-------------|--------------|-----|-------|-------|-------|-------|--|-------|-------------------|
|                  | D903        | 83           | 79  | 122.8 | 90.9  | 270.0 | 250.0 |  |       |                   |
|                  |             | 124          | 119 | 142.7 | 110.5 | 320.0 | 330.0 |  |       |                   |
|                  |             | 166          | 158 | 159.9 | 133.4 | 380.0 | 400.0 |  |       |                   |
|                  |             | 207          | 197 | 175.4 | 144.8 | 420.0 | 460.0 |  |       |                   |
|                  |             | 310          | 295 | 208.8 | 167.6 | 520.0 | 570.0 |  |       |                   |
|                  |             | 414          | 393 | 245.1 | 197.8 | 600.0 | 650.0 |  |       |                   |
| Glass beads (GB) | G911        | 82           | 79  | 77.7  | 70.9  | 180.0 | 200.0 |  |       |                   |
|                  |             | 124          | 118 | 97.6  | 93.6  | 230.0 | 240.0 |  |       |                   |
|                  |             | 165          | 157 | 113.9 | 110.5 | 260.0 | 300.0 |  |       |                   |
|                  |             | 206          | 197 | 126.7 | 121.3 | 300.0 | 380.0 |  |       |                   |
|                  |             | 309          | 295 | 152.4 | 149.7 | 360.0 | 430.0 |  |       |                   |
|                  |             | 413          | 393 | 167.6 | 168.6 | 400.0 | 540.0 |  |       |                   |
|                  | G912        | 66           | 31  | 41.3  | 54.5  | 85.0  | 170.0 |  |       |                   |
|                  |             | 125          | 57  | 58.6  | 73.6  | 120.0 | 260.0 |  |       |                   |
|                  |             | 188          | 86  | 71.6  | 89.4  | 160.0 | 320.0 |  |       |                   |
|                  |             | 251          | 114 | 87.4  | 104.9 | 180.0 | 370.0 |  |       |                   |
|                  | G922        | 309          | 295 | 135.6 | 138.8 | 360.0 | 430.0 |  |       |                   |
|                  |             | 413          | 393 | 166.4 | 166.8 | 400.0 | 540.0 |  |       |                   |
|                  |             | 81           | 79  | 70.6  | 69.8  | 200.0 | 210.0 |  |       |                   |
|                  |             | 123          | 118 | 88.1  | 90.9  | 240.0 | 280.0 |  |       |                   |
|                  |             | 164          | 158 | 103.9 | 107.1 | 280.0 | 370.0 |  |       |                   |
|                  |             | 206          | 197 | 117.3 | 118.9 | 320.0 | 420.0 |  |       |                   |
|                  |             | 309          | 295 | 143.3 | 146.9 | 400.0 | 530.0 |  |       |                   |
|                  |             | 411          | 393 | 162.3 | 164.4 | 450.0 | 600.0 |  |       |                   |
|                  |             | 206          | 197 | 105.5 | 106.3 | 290.0 | 370.0 |  |       |                   |
|                  |             | 297          | 448 | 161.9 | 157.9 | 370.0 | 240.0 |  |       |                   |
|                  | Ticino sand | TS - K = 0.5 | N/A | N/A   | 61.5  | 65.8  | 141.0 |  | 131.2 | Fioravante (2000) |
|                  |             |              | N/A | N/A   | 83.9  | 91.1  | 195.3 |  | 185.6 |                   |
|                  |             |              | N/A | N/A   | 99.8  | 109.9 | 235.8 |  | 225.5 |                   |
|                  |             |              | N/A | N/A   | 112.8 | 126.5 | 269.0 |  | 259.5 |                   |
| N/A              |             |              | N/A | 123.7 | 140.2 | 298.7 | 290.0 |  |       |                   |
| N/A              |             |              | N/A | 134.5 | 153.3 | 324.7 | 316.1 |  |       |                   |
| TS - K = 1       |             | N/A          | N/A | 81.7  | 73.5  | 187.0 | 130.1 |  |       |                   |
|                  |             | N/A          | N/A | 110.0 | 101.1 | 259.3 | 183.1 |  |       |                   |
|                  |             | N/A          | N/A | 130.0 | 122.3 | 312.9 | 223.7 |  |       |                   |
|                  |             | N/A          | N/A | 147.7 | 139.9 | 357.6 | 256.7 |  |       |                   |
|                  |             | N/A          | N/A | 162.4 | 155.2 | 397.0 | 286.7 |  |       |                   |
|                  |             | N/A          | N/A | 175.9 | 169.3 | 431.7 | 313.8 |  |       |                   |
| TS - K = 2.0     |             | N/A          | N/A | 114.8 | 88.6  | 251.3 | 143.5 |  |       |                   |
|                  |             | N/A          | N/A | 143.5 | 112.2 | 273.0 | 184.3 |  |       |                   |

|             |              |     |     |       |       |       |       |  |
|-------------|--------------|-----|-----|-------|-------|-------|-------|--|
|             |              | N/A | N/A | 170.4 | 135.8 | 347.0 | 224.5 |  |
|             |              | N/A | N/A | 193.3 | 154.9 | 417.8 | 259.0 |  |
|             |              | N/A | N/A | 213.1 | 172.1 | 477.8 | 288.3 |  |
| Kenya sand  | KS - K = 0.5 | N/A | N/A | 59.9  | 56.5  | 134.8 | 122.9 |  |
|             |              | N/A | N/A | 73.5  | 69.5  | 166.1 | 146.1 |  |
|             |              | N/A | N/A | 84.4  | 80.4  | 192.6 | 164.6 |  |
|             |              | N/A | N/A | 93.9  | 91.3  | 215.8 | 181.0 |  |
|             |              | N/A | N/A | 104.1 | 98.8  | 236.9 | 195.4 |  |
|             | KS - K = 1.0 | N/A | N/A | 59.2  | 46.9  | 135.5 | 101.5 |  |
|             |              | N/A | N/A | 82.7  | 67.4  | 193.0 | 137.3 |  |
|             |              | N/A | N/A | 101.4 | 83.9  | 238.1 | 163.2 |  |
|             |              | N/A | N/A | 116.7 | 96.8  | 276.3 | 183.8 |  |
|             |              | N/A | N/A | 130.2 | 109.1 | 309.7 | 203.8 |  |
|             | KS - K = 2.0 | N/A | N/A | 142.5 | 119.7 | 340.8 | 219.1 |  |
|             |              | N/A | N/A | 82.5  | 57.8  | 193.9 | 113.8 |  |
|             |              | N/A | N/A | 100.5 | 71.1  | 239.1 | 136.1 |  |
|             |              | N/A | N/A | 115.6 | 81.9  | 277.6 | 154.7 |  |
|             |              | N/A | N/A | 128.8 | 92.2  | 311.4 | 170.4 |  |
| Ticino sand | 390          | N/A | N/A | 140.3 | 101.2 | 342.7 | 184.8 |  |
|             |              | 50  | 25  | 56.1  | 57.0  | 133.8 | 160.3 |  |
|             |              | 100 | 50  | 77.1  | 79.5  | 184.1 | 225.0 |  |
|             |              | 150 | 75  | 92.9  | 96.8  | 222.0 | 274.6 |  |
|             |              | 200 | 100 | 106.1 | 111.2 | 253.7 | 316.2 |  |
|             |              | 250 | 125 | 117.6 | 124.0 | 281.4 | 353.1 |  |
|             | 383          | 300 | 150 | 127.8 | 135.4 | 306.2 | 386.6 |  |
|             |              | 50  | 50  | 76.8  | 63.2  | 177.6 | 146.1 |  |
|             |              | 100 | 100 | 106.9 | 88.9  | 248.8 | 204.7 |  |
|             |              | 150 | 150 | 129.8 | 108.6 | 303.5 | 250.0 |  |
|             |              | 200 | 200 | 149.1 | 125.2 | 349.4 | 287.9 |  |
|             |              | 250 | 250 | 166.0 | 139.9 | 390.0 | 321.4 |  |
|             | 384          | 300 | 300 | 181.3 | 153.2 | 426.5 | 351.4 |  |
|             |              | 50  | 75  | 92.6  | 73.1  | 214.7 | 137.8 |  |
|             |              | 67  | 100 | 106.1 | 87.9  | 247.8 | 160.2 |  |
|             |              | 100 | 150 | 128.7 | 102.0 | 304.1 | 198.8 |  |
|             |              | 150 | 225 | 156.0 | 123.9 | 372.5 | 245.9 |  |
|             |              | 200 | 300 | 178.8 | 142.3 | 429.9 | 285.8 |  |
|             |              | 250 | 375 | 198.8 | 158.4 | 480.8 | 321.5 |  |
|             | 385          | 300 | 450 | 216.9 | 173.0 | 526.6 | 353.5 |  |
|             |              | 50  | 100 | 108.8 | 74.4  | 253.1 | 132.9 |  |
|             |              | 60  | 120 | 118.5 | 81.3  | 276.1 | 145.3 |  |

Bellotti et al. (1996)

|  |     |     |       |       |       |       |
|--|-----|-----|-------|-------|-------|-------|
|  | 100 | 200 | 150.9 | 104.4 | 353.8 | 188.5 |
|  | 150 | 300 | 182.9 | 127.4 | 430.7 | 231.8 |
|  | 200 | 400 | 209.6 | 146.6 | 495.0 | 268.1 |
|  | 250 | 500 | 233.2 | 163.7 | 552.6 | 301.3 |
|  | 300 | 600 | 254.3 | 179.1 | 603.6 | 330.2 |

### محاسبه نسبت‌های ناهمسانگردی مدول برشی و مدول یانگ و ارزیابی روابط حاکم بر آن‌ها

با استفاده از مقادیر پارامترهای کشسانی گردآوری شده در جدول ۱، حال می‌توان نسبت‌های ناهمسانگردی مدول برشی و مدول یانگ را برای خاک‌های ماسه‌ای مورد مطالعه محاسبه نمود. مقادیر حاصل برای هر دو نسبت  $G'_{hh}/G'_{vh}$  و  $E'_h/E'_v$  شامل محدوده تقریباً وسیعی از کمیت‌های مختلف در بازه نسبتاً پهنای از حالت‌های تنش گوناگون است. به منظور مشاهده رفتار و تحلیل دقیق ویژگی‌های تغییرپذیری این دو نوع ناهمسانگردی، نسبت‌های  $G'_{hh}/G'_{vh}$  و  $E'_h/E'_v$  به طور جداگانه در برابر نسبت تنش  $\sigma'_h/\sigma'_v$  متناظر تجربه شده در طول مسیر آزمایش ترسیم شدند (شکل‌های ۱a و ۱b). همانطور که از شکل ۱a دیده می‌شود، نسبت‌های ناهمسانگردی مدول برشی بیانگر طیف متنوعی از مقادیر در بازه ۰/۶۲ تا ۱/۶۹ به ازای تغییرات نسبت تنش از ۰/۲۵ تا ۲/۲۰ می‌باشند. این در حالیست که مطابق با شکل ۱b، نسبت‌های ناهمسانگردی مدول یانگ محدوده به مراتب وسیع‌تری از تغییرات را از ۰/۴۰ تا ۲/۳۳، به ازای همان میزان تغییرات نسبت تنش از ۰/۲۵ تا ۲/۲۰ نشان می‌دهند. علاوه بر این می‌توان مشاهده نمود که هر دو نسبت ناهمسانگردی  $G'_{hh}/G'_{vh}$  و  $E'_h/E'_v$  دارای روندهایی صعودی با افزایش نسبت تنش  $\sigma'_h/\sigma'_v$  می‌باشند. به وضوح قابل رویت است که شدت تغییرات نسبت ناهمسانگردی مدول یانگ در مقابل نسبت تنش بیشتر از شدت تغییرات متناظر برای نسبت ناهمسانگردی مدول برشی است. این امر بیانگر حساسیت بالاتر و تغییرپذیری بیشتر برای  $E'_h/E'_v$  نسبت به  $G'_{hh}/G'_{vh}$  در مقابل ایجاد هر گونه تغییراتی در حالت تنش حاکم بر خاک می‌باشد. به منظور کمی نمودن میزان وابستگی نسبت‌های  $G'_{hh}/G'_{vh}$  و  $E'_h/E'_v$  به نسبت تنش موثر  $\sigma'_h/\sigma'_v$  و ارزیابی روابطی برای بیان مقادیر ناهمسانگردی‌ها بر حسب توابعی از شرایط تنش حاکم، یک سری از تحلیل‌های رگرسیونی بر روی زوج داده‌های نمایش شده در شکل‌های ۱a و ۱b به اجرا درآمدند. نتایج نشان دادند که نسبت‌های  $G'_{hh}/G'_{vh}$  و  $E'_h/E'_v$  را می‌توان به صورت توابعی توانی از  $\sigma'_h/\sigma'_v$  در قالب معادلات (۶) و (۷) بیان نمود:

$$\frac{G'_{hh}}{G'_{vh}} = 1.118 \left(\frac{\sigma'_h}{\sigma'_v}\right)^{0.268}; R^2 = 0.687, N = 266 \quad (۶)$$

$$\frac{E'_h}{E'_v} = 1.150 \left(\frac{\sigma'_h}{\sigma'_v}\right)^{0.620}; R^2 = 0.776, N = 266 \quad (۷)$$

که عبارت  $R^2$  بیانگر ضریب تعیین و  $N$  نشان دهنده تعداد نقاط داده سهیم در هر تحلیل می‌باشد.

در ادامه به منظور بررسی روابط بالقوه موجود میان نسبت‌های ناهمسانگردی مدول برشی و مدول یانگ، مقادیر  $G'_{hh}/G'_{vh}$  و  $E'_h/E'_v$  در مقابل یکدیگر آنگونه که در شکل‌های ۲a و ۲b نشان داده شده‌اند ترسیم شدند. با اجرای یک سری از تحلیل‌های رگرسیونی بر روی زوج داده‌های " $E'_h/E'_v - G'_{hh}/G'_{vh}$ " و " $G'_{hh}/G'_{vh} - E'_h/E'_v$ "، میزان وابستگی میان این نسبت‌ها به صورت جداگانه مورد ارزیابی قرار گرفته و نهایتاً معادلات همبسته کننده آن‌ها به شرح زیر استخراج گردیدند:

$$\frac{G'_{hh}}{G'_{vh}} = 1.055 \left(\frac{E'_h}{E'_v}\right)^{0.398}; R^2 = 0.783, N = 266 \quad (۸)$$

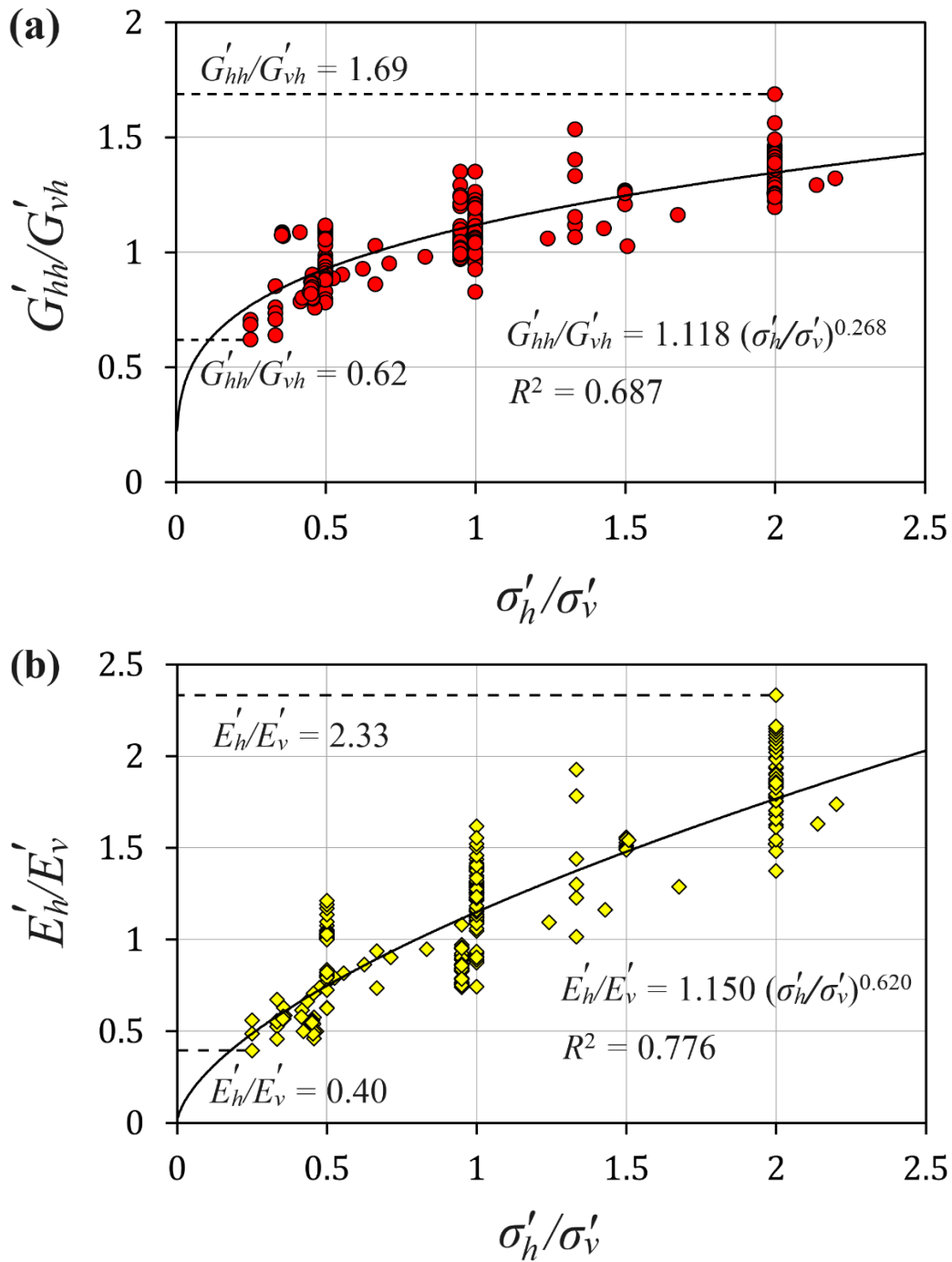
$$\frac{E'_h}{E'_v} = 0.915 \left(\frac{G'_{hh}}{G'_{vh}}\right)^{1.952}; R^2 = 0.783, N = 266 \quad (۹)$$

ملاحظه می‌گردد که نسبت‌های ناهمسانگردی  $G'_{hh}/G'_{vh}$  و  $E'_h/E'_v$  به خوبی با یکدیگر در ارتباط بوده به طوری که می‌توان با دقتی قابل قبول هر یک از آن‌ها را از دیگری ارزیابی نمود. تنها نگرانی، وجود ضرایب ۱/۰۵۵ و ۰/۹۱۵ به ترتیب در سمت راست معادلات (۸) و (۹) می‌باشند که در شرایط همسانگرد بودن خاک ( $G'_{hh}/G'_{vh} = E'_h/E'_v = 1$ ) موجب عدم تساوی طرفین معادلات با واحد می‌شوند. بر همین اساس، با توجه به لزوم تساوی طرفین برای خاک همسانگرد، لازم است تا با اعمال شرط برابری این ضرایب با مقدار واحد، تغییرات لازم اجرا شده و شکل نهایی معادلات تصحیح شده ارائه گردند. بنابراین، با انجام یک سری از تحلیل‌های رگرسیونی خطی بر روی زوج داده‌های " $E'_h/E'_v - G'_{hh}/G'_{vh}$ " و " $G'_{hh}/G'_{vh} - E'_h/E'_v$ " در مقیاس لگاریتمی و با فرض عرض از مبدأ صفر (شکل‌های ۳a و ۳b را ببینید)، روابط نهایی بیان کننده نسبت‌ها بر حسب یکدیگر به صورت زیر به دست آمدند:

$$\frac{G'_{hh}}{G'_{vh}} = \left(\frac{E'_h}{E'_v}\right)^{0.422}; R^2 = 0.741, N = 266 \quad (۱۰)$$

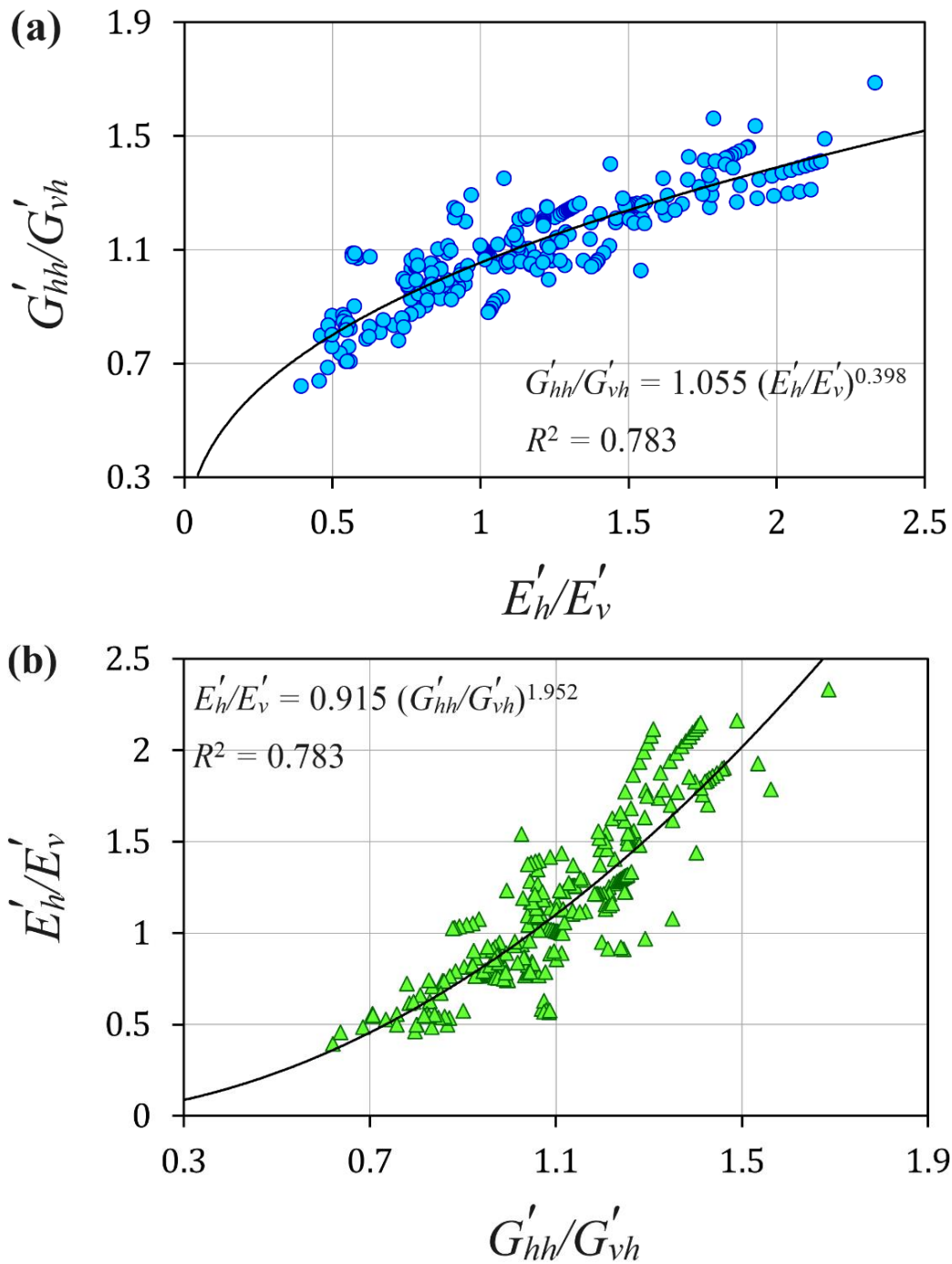
$$\frac{E'_h}{E'_v} = \left(\frac{G'_{hh}}{G'_{vh}}\right)^{1.756}; R^2 = 0.741, N = 266 \quad (۱۱)$$

مقدار نسبتاً بالای ضریب  $R^2 = ۰/۷۴۱$  در روابط فوق، مجدداً اثبات کننده وجود یک همبستگی معقول بین نسبت‌های  $E'_h/E'_v$  و  $G'_{hh}/G'_{vh}$  می‌باشد. این روابط بیان کننده ثابت‌هایی متفاوت در مقادیر توان نسبت‌های  $E'_h/E'_v$  و  $G'_{hh}/G'_{vh}$  در قیاس با روابط گزارش شده در معادله (۱) می‌باشند. دلیل این تفاوت، استنتاج روابط فوق بر مبنای یک پایگاه داده جامع و وسیع‌تر از آنچه که تا کنون توسط دیگر محققین ایجاد و استفاده شده است می‌باشد. بر همین اساس، می‌توان با جایگزینی و به‌کارگیری روابط (۱۰) و (۱۱) به جای دیگر معادلات مشابه ارائه شده در پیشینه تحقیق، به مراتب نتایج قابل اعتمادتری را برای مقادیر نسبت‌های ناهمسانگردی مختلف به دست آورد.



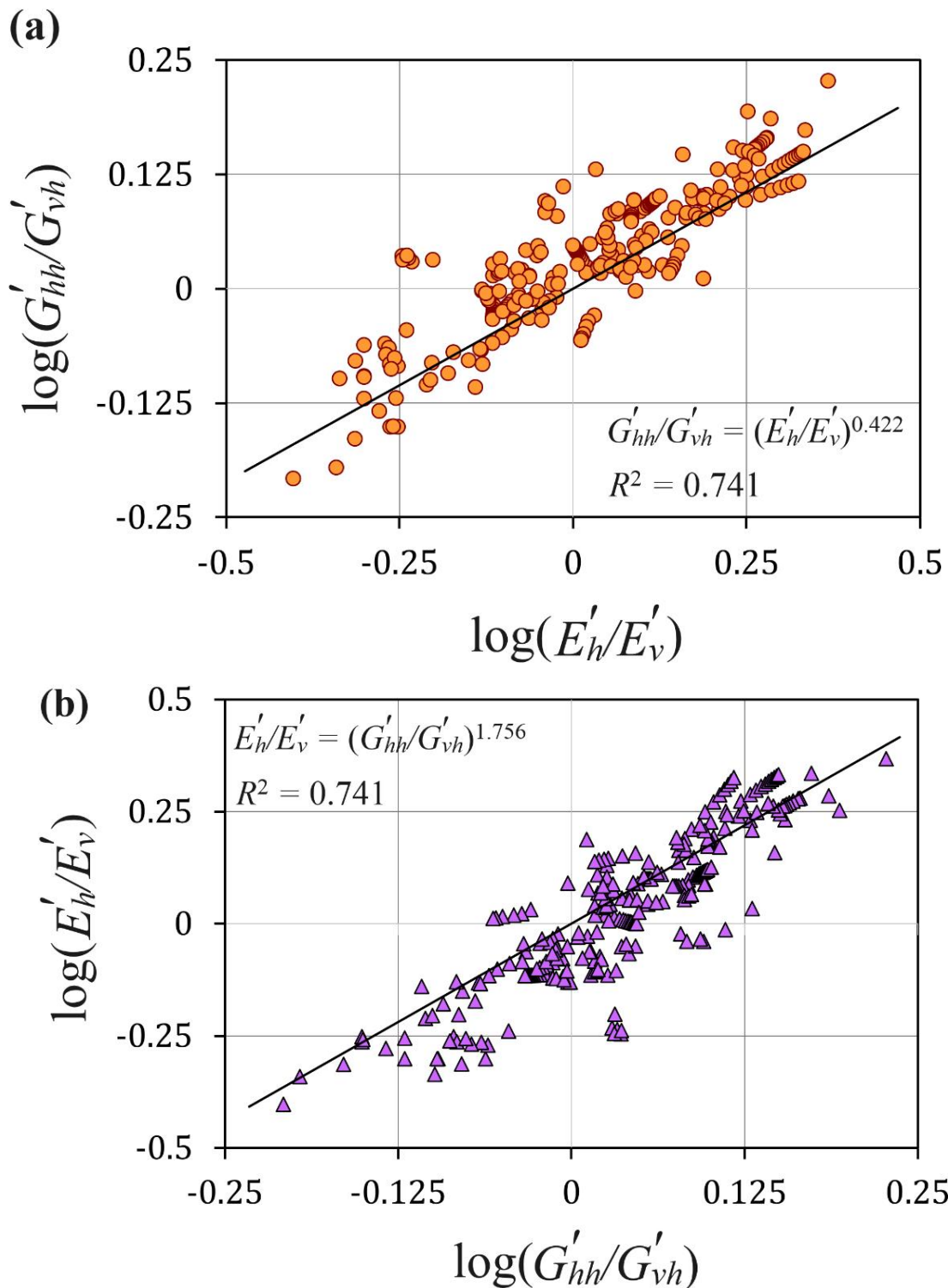
شکل ۱. مدل تغییرات نسبت‌های ناهمسانگردی مدول برشی  $G'_{hh}/G'_{vh}$  و (a) مدول یانگ  $E'_h/E'_v$  در برابر نسبت تنش  $\sigma'_h/\sigma'_v$  در خاک‌های غیر چسبیده

Fig. 1. The variations model of (a) shear modulus anisotropy ratio  $G'_{hh}/G'_{vh}$ , and (b) Young's modulus anisotropy ratio  $E'_h/E'_v$  versus the stress ratio  $\sigma'_h/\sigma'_v$  in cohesionless soils



شکل ۲. ترسیم متقابل نسبت‌های ناهمسانگردی مدول برشی و مدول یانگ در برابر یکدیگر و ارزیابی همبستگی بین آن‌ها. (a) نمایش  $G'_{hh}/G'_{vh}$  به صورت تابعی از  $E'_h/E'_v$ ; (b) نمایش  $E'_h/E'_v$  به صورت تابعی از  $G'_{hh}/G'_{vh}$

Fig. 2. The reciprocal plotting the shear modulus and Young's modulus anisotropy ratios against each other and assessing their correlations. (a) Display of  $G'_{hh}/G'_{vh}$  as a function of  $E'_h/E'_v$ ; (b) Display of  $E'_h/E'_v$  as a function of  $G'_{hh}/G'_{vh}$



شکل ۳. ترسیم متقابل نسبت‌های ناهمسانگردی (a)  $G'_{hh}/G'_{vh}$  در مقابل  $E'_h/E'_v$  و (b)  $E'_h/E'_v$  در مقابل  $G'_{hh}/G'_{vh}$  در مقیاس لگاریتمی و

اجرای تحلیل‌های رگرسیون خطی برای ارزیابی همبستگی‌های بین آن‌ها

Fig. 3. The reciprocal plotting the anisotropy ratios (a)  $G'_{hh}/G'_{vh}$  versus  $E'_h/E'_v$ , and (b)  $E'_h/E'_v$  versus  $G'_{hh}/G'_{vh}$  in log scale by performing linear regression analyses for evaluating their correlations



## نتیجه‌گیری

اهداف اصلی مدنظر در این مطالعه شامل ارزیابی محدوده تغییرات نسبت‌های ناهمسانگردی مدول‌های برشی و یانگ،  $G'_{hh}/G'_{vh}$  و  $E'_h/E'_v$ ، در طیفی از انواع خاک‌های غیر چسبنده و متعاقباً استنتاج معادلات ربط دهنده این دو نسبت به یکدیگر بودند. برای این منظور، در ابتدا با گردآوری نتایج حاصل از گزارشات آزمایشگاهی ارائه شده در پیشینه تحقیق و ایجاد یک پایگاه داده جامع از ضرایب ناهمسانگرد کشسان متعلق به گستره نسبتاً وسیعی از خاک‌های غیر چسبنده، مقادیر نسبت‌های ناهمسانگردی مدول برشی و مدول یانگ محاسبه شده و در ادامه دامنه تغییرات آن‌ها تحت شرایط تنش گوناگون مورد بررسی و تحلیل قرار گرفتند. در واقع، با اجرای تحلیل‌های رگرسیون بر روی نسبت‌های  $G'_{hh}/G'_{vh}$  و  $E'_h/E'_v$  در مقابل تغییرات نسبت تنش  $\sigma'_h/\sigma'_v$ ، میزان وابستگی و الگوهای تغییرپذیری ناهمسانگردی‌های مدول برشی و مدول یانگ در برابر حالت تنش مشخص گردیدند. در ادامه، با ترسیم متقابل نسبت‌های  $G'_{hh}/G'_{vh}$  و  $E'_h/E'_v$  در مقابل یکدیگر و برآورد مدل‌های تغییرپذیری آن‌ها بر حسب هم، میزان همبستگی میان این دو نسبت و نتیجتاً امکان محاسبه یکی از این مقادیر از مقدار دیگر مورد ارزیابی قرار گرفت. در انتها، معادلات تجربی تشریح‌کننده ارتباط میان نسبت‌های ناهمسانگردی مدول برشی  $G'_{hh}/G'_{vh}$  و مدول یانگ  $E'_h/E'_v$  استخراج شده و به عنوان معادلاتی قابل استناد که متکی بر یک پایگاه داده جامع از مقادیر واقعی ویژگی‌های ناهمسانگرد در خاک‌های غیر چسبنده هستند معرفی شدند.

## قدردانی

این مطالعه تحت حمایت مالی بنیاد ملی علوم طبیعی چین اجرا و تکمیل گردید (شماره گرنت: ۵۲۲۵۰۴۱۰۳۴۷). نویسنده این مقاله مراتب تشکر و قدردانی خود را از بنیاد مذکور اعلام می‌دارد.

## منابع

پگاه، ا.، ۱۴۰۲. ارزیابی نسبت ناهمسانگردی ساختار بافتی در خاک‌های دانه‌ای از ویژگی‌های دانه‌بندی و شکل ذرات. نشریه زمین‌شناسی مهندسی، ۱۷ (۱): ۱-۴۱.

- Bellotti, R., Jamiolkowski, M., Lo Presti, D. C. F., O'Neill, D. A., 1996. Anisotropy of small strain stiffness in Ticino sand. *Geotechnique*, 46, 1, 115-131.
- Das, B. M., 2008. *Advanced Soil Mechanics*, 3<sup>rd</sup> ed. Taylor & Francis Group, New York, USA.
- Das, B. M., Sobhan, K., 2014. *Principles of Geotechnical Engineering*, 4<sup>th</sup> ed. Cengage Learning, Stamford, USA.
- Das, B. M., Ramana, G. V., 2011. *Principles of Soil Dynamics*, 2<sup>nd</sup> ed. Cengage Learning, Stamford, USA.
- Dutta, T. T., Otsubo, M., Kuwano, R., Sato, T., 2020. Estimating multidirectional stiffness of soils using planar piezoelectric transducers in a large triaxial apparatus. *Soils and Foundations*, 60, 5, 1269-1286.
- Ezaoui, A., Di Benedetto, H., 2009. Experimental measurements of the global anisotropic elastic behaviour of dry Hostun sand during triaxial tests, and effect of sample preparation. *Geotechnique*, 59, 7, 621-635.
- Fioravante, V., 2000. Anisotropy of small strain stiffness of Ticino and Kenya sands from seismic wave propagation measured in triaxial testing. *Soils and Foundations*, 40, 4, 129-142.
- Fioravante, V., Giretti, D., Jamiolkowski, M., 2013. Small strain stiffness of carbonate Kenya Sand. *Engineering Geology*, 161, 65-80.
- Graham, J., Houlsby, G. T., 1983. Anisotropic elasticity of a natural clay. *Geotechnique*, 33, 2, 165-180.
- Gu, X. Q., Hu, J., Huang, M., 2017. Anisotropy of elasticity and fabric of granular soils. *Granular Matter*, 19:33.

- Gu, X. Q., Li, Y., Hu, J., Shi, Z., Liang, F., Huang, M., 2022. Elastic shear stiffness anisotropy and fabric anisotropy of natural clays. *Acta Geotechnica*, 17, 3229-3243.
- Gu, X. Q., Liang, X., Hu, J., 2023. Quantifying fabric anisotropy of granular materials using wave velocity anisotropy: a numerical investigation. *Geotechnique*, <https://doi.org/10.1680/jgeot.22.00314>.
- He, H., Li, S., Senetakis, K., Coop, M. R., Liu, S., 2022. Influence of anisotropic stress path and stress history on stiffness of calcareous sands from Western Australia and the Philippines. *Journal of Rock Mechanics and Geotechnical Engineering*, 14, 197-209.
- Hoque, E., Tatsuoka, F., 2004. Effects of stress ratio on small-strain stiffness during triaxial shearing. *Geotechnique*, 54, 7, 429-439.
- Kong, Y., Zhao, J., Yao, Y., 2013. A failure criterion for cross-anisotropic soils considering microstructure. *Acta Geotechnica*, 8, 665-673.
- Kuwano, R., 1999. The stiffness and yielding anisotropy of sand. PhD Thesis, University of London (Imperial College).
- Kuwano, R., Jardine, R. J., 2002. On the applicability of cross-anisotropic elasticity to granular materials at very small strains. *Geotechnique*, 52, 10, 727-749.
- Liu, J., Otsubo, M., Kawaguchi, Y., Kuwano, R., 2022. Anisotropy in small-strain shear modulus of granular materials: Effects of particle properties and experimental conditions. *Soils and Foundations*, 62, 101105.
- Nishimura, S., 2014. Cross-anisotropic deformation characteristics of natural sedimentary clays. *Geotechnique*, 64, 12, 981-996.
- Otsubo, M., Liu, J., Kawaguchi, Y., Dutta, T. T., Kuwano, R., 2020. Anisotropy of elastic wave velocity influenced by particle shape and fabric anisotropy under  $K_0$  condition. *Computers and Geotechnics*, 128, 103775.
- Pegah, E., 2023. Appraisal of fabric anisotropy ratio in granular soils based on grading and grains shape attributes. *Journal of Engineering Geology*, 17, 1, 1-41.
- Pegah, E., Liu, H., 2020. Evaluating the overconsolidation ratios and peak friction angles of granular soil deposits using noninvasive seismic surveying. *Acta Geotechnica*, 15, 3193-3209.
- Pegah, E., Liu, H., Dastanboo, N., 2017. Evaluation of the lateral earth pressure coefficients at-rest in granular soil deposits using the anisotropic components of S-wave velocity. *Engineering Geology*, 230, 55-63.
- Pegah, E., Liu, H., Gholami, A., 2021. Estimating drained cross-anisotropic elastic parameters in saturated clays using the undrained properties. *Engineering Geology*, 293, 106340.
- Pegah, E., Liu, H., Gu, X. Q., Gholami, A., 2022. A semi-analytical approach for efficient calculation of drained cross-anisotropic elastic moduli in saturated granular soils from undrained attributes. *Computers and Geotechnics*, 148, 104794.
- Shi, J., Haegeman, W., Cnudde, V., 2021. Anisotropic small-strain stiffness of calcareous sand affected by sample preparation, particle characteristic and gradation. *Geotechnique*, 71, 4, 305-319.
- Wang, Y. H., Mok, C. M. B., 2008. Mechanisms of small-strain shear-modulus anisotropy in soils. *Journal of Geotechnical and Geoenvironmental Engineering*, 134, 10, 1516-1530.
- Zamanian, M., Mollaei-Alamouti, V., Payan, M., 2020. Directional strength and stiffness characteristics of inherently anisotropic sand: The influence of deposition inclination. *Soil Dynamics and Earthquake Engineering*, 137, 106304.

## The Elastic Anisotropy Ratios in Cohesionless Soils and Corresponding Bilateral Correlations

Ehsan Pegah\*<sup>1</sup>

1. Assistant Professor, Department of Applied Geology, Faculty of Earth Sciences, Kharazmi University, Tehran, Iran

Received: 17 Jul 2023

Accepted: 30 Jul 2023

### Abstract

The ratios of elastic anisotropy in cohesionless soils are always of substantial importance in respective analyses to the geotechnical and geological engineering projects. These ratios are raising from the available discrepancies in anisotropic elastic parameters ascribed to the different directions and planes of soil mass. The major objective of this study is to recognize the variations range of anisotropy ratios resulting from anisotropic shear and Young's moduli for a variety of cohesionless soils followed by assessing the potential relations among these two anisotropies. To this end, by assuming the transversely isotropy in cohesionless soils, the anisotropic elastic constants from 266 conducted laboratory tests on 37 various soil specimens relating to 10 different sands were derived from conventional triaxial and seismic waves laboratory tests coupled with the numerical testing results in literature. By sorting the collected data and subsequently their analyses, at the first stage, the values of shear and Young's moduli anisotropy ratios were calculated for the studied soils. Furthermore, by plotting the anisotropy ratios in several joint panels and performing a series of regression analyses on the resulting values, the possible dependencies were inspected between these two anisotropies. At last, the indicative equations among shear and Young's moduli anisotropies were developed with insistence on use of which instead of the former similar relations in literature.

**Keywords:** Shear modulus anisotropy ratio, Young's modulus anisotropy ratio, Cohesionless soils, Transversely isotropy, Stress ratio, Empirical equations.

### Introduction

The natural sedimentation process of various soil grains often giving rise to the anisotropic soil strata that can be assumed as the transversely isotropic environments over bedding plane (Kong et al., 2013; Pegah, 2023; Pegah et al., 2020; Wang and Mok, 2008; Zamanian et al., 2020). Under transversely isotropy conditions in cohesionless soils, the elastic shear stiffness of soil in different plans would be given by two distinct values as  $G'_{vh}$  (or  $G'_{hv}$ ) and  $G'_{hh}$ . Likewise, two different values are also existed for elastic axial

\*Corresponding author: e.pegah@khu.ac.ir

DOI: <http://doi.org/10.22034/JEG.2023.17.2.1019162>

stiffness in various directions giving by  $E'_v$  and  $E'_h$ . With regard to this issue that in cohesionless soils the drained properties are more important than the undrained ones, it was used from (') sign above the parameters to emphasize on the values of them under drained conditions. The  $G'_{hh}/G'_{vh}$  and  $E'_h/E'_v$  values are considered, respectively, as the shear modulus and Young's modulus anisotropy ratios such that their deviation from unity could be assumed as the intensity of anisotropy in soil medium. The precise determination of elastic anisotropy ratio in cohesionless soils has been always one of the most important issues in earth sciences and engineering problems. Therefore, the main objective of this study is to identify the variations amplitudes of shear modulus and Young's modulus anisotropy ratios for a range of cohesionless soils and then evaluating the ratios' dependency to each other through derivation of their bilateral correlations. To this end, in the first effort, by extracting the values of four anisotropic elastic constants  $G'_{vh}$ ,  $G'_{hh}$ ,  $E'_v$  and  $E'_h$  from the reported results in literature, a comprehensive database of two anisotropic shear moduli and two anisotropic Young's moduli was developed for cohesionless soils. By calculating  $G'_{hh}/G'_{vh}$  and  $E'_h/E'_v$  ratios for each soil, the magnitudes of anisotropy degrees were specified for both shear and Young's moduli. In the next step, by carrying out a series of regression analyses on the paired data  $G'_{hh}/G'_{vh}$  and  $E'_h/E'_v$ , the dependency level of the ratios was recognized and their correlating relationships were obtained. With regard to the establishment of the resulting correlations on the real experimental data, it was emphasized on their replacing with the current available relations in literature that are suffering from lack of enough supports by actual empirical data.

#### **Developing a database of transversely isotropic shear and Young's moduli for cohesionless soil**

To recognize and analyze the shear and axial stiffness anisotropy degrees in cohesionless soils, the measured anisotropic shear and Young's moduli for a large number of different sandy soils were extracted from the results of laboratory and numerical tests in literature. In this regard, the resulting data from the studies of Dutta et al. (2020), Fioravante et al. (2013), Ezaoui and Di Benedetto (2009), Kuwano and Jardine (2002), Fioravante (2000), Kuwano (1999) and Bellotti et al. (1996), which were obtained based on an integration of dynamic and static measurements through calculating seismic wave velocities and stress-strain diagrams attained from triaxial tests, were combined with the results from numerical studies of Gu et al. (2017) to develop a large database of anisotropic elastic parameters in sandy soils. In general, this database includes the obtained results from 266 conducted tests under various stress states on 37 different samples relating to 10 distinct sands.

#### **Calculating the shear and Young's moduli anisotropy ratios and assessing bilateral relationships**

The resulting values for both  $G'_{hh}/G'_{vh}$  and  $E'_h/E'_v$  ratios include almost a wide range of different quantities in a relatively extensive interval of different stress states. To observe the behavior and analyze the variability characteristics of these two anisotropies, the ratios of  $G'_{hh}/G'_{vh}$  and  $E'_h/E'_v$  were depicted separately against the experienced stress ratio along the test procedure (Figs. 1a and 1b). As can be seen from Fig. 1a, the shear modulus anisotropy ratios are the representative of diverse values ranging from 0.62 to 1.69 for stress ratio variations between 0.25 and 2.20. Nevertheless, according to Fig. 1b, the Young's modulus anisotropy ratios contain a wider range of variations from 0.40 to 2.33 for the same range of stress ratio variations. In addition, it is observed that both the  $G'_{hh}/G'_{vh}$  and  $E'_h/E'_v$  anisotropy ratios possess ascending trends by increasing the stress ratio  $\sigma'_h/\sigma'_v$ . It is also obvious that the variations intensity of Young's modulus anisotropy ratio versus the stress ratio is larger than that for shear modulus anisotropy

ratio. This indicates the higher sensitivity and variability for  $E'_h/E'_v$  with respect to  $G'_{hh}/G'_{vh}$  against any induced variation in stress conditions of a soil mass.

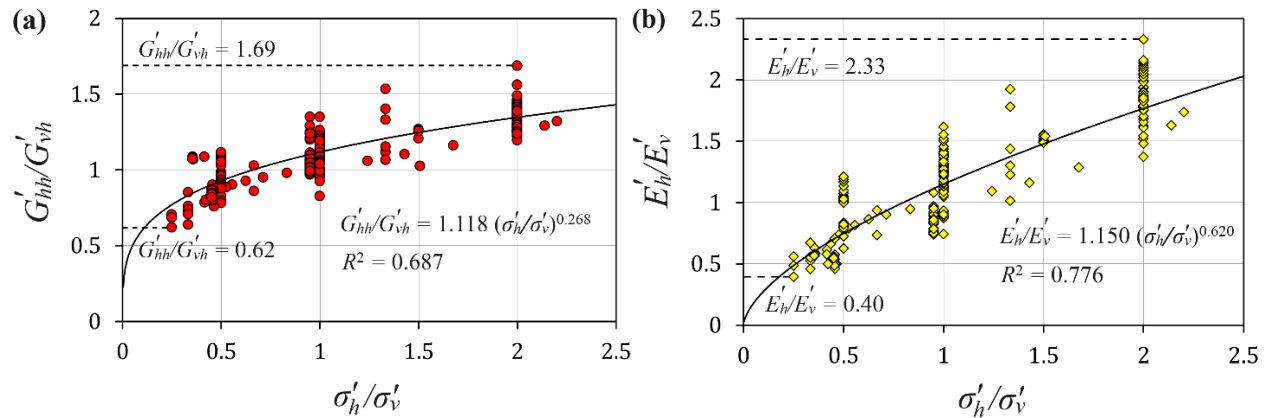


Fig. 1. The variations model of (a) shear modulus anisotropy ratio  $G'_{hh}/G'_{vh}$ , and (b) Young's modulus anisotropy ratio  $E'_h/E'_v$  versus the stress ratio  $\sigma'_h/\sigma'_v$  in cohesionless soils

To inspect the potential relationships between the shear and Young's moduli anisotropy ratios, the values of  $G'_{hh}/G'_{vh}$  and  $E'_h/E'_v$  were plotted against each other as are illustrated by Figs. 2a and 2b. By performing a series of regression analyses on the paired information " $G'_{hh}/G'_{vh} - E'_h/E'_v$ " and " $E'_h/E'_v - G'_{hh}/G'_{vh}$ ", the level of dependence among the ratios were individually evaluated and lastly their correlating equations were derived as well:

$$\frac{G'_{hh}}{G'_{vh}} = \left(\frac{E'_h}{E'_v}\right)^{0.422}; R^2 = 0.741, N = 266 \tag{1}$$

$$\frac{E'_h}{E'_v} = \left(\frac{G'_{hh}}{G'_{vh}}\right)^{1.756}; R^2 = 0.741, N = 266 \tag{2}$$

Where  $R^2$  and  $N$  remarks the statistical data, respectively, as the coefficient of determination and number of contributed data points in regression analyses. The relatively large value of  $R^2 = 0.741$  in Eqs. (1) and (2) proves a strong correlation between  $G'_{hh}/G'_{vh}$  and  $E'_h/E'_v$  ratios, which in turn demonstrates the acceptable accuracy and reliability of equations in practice.

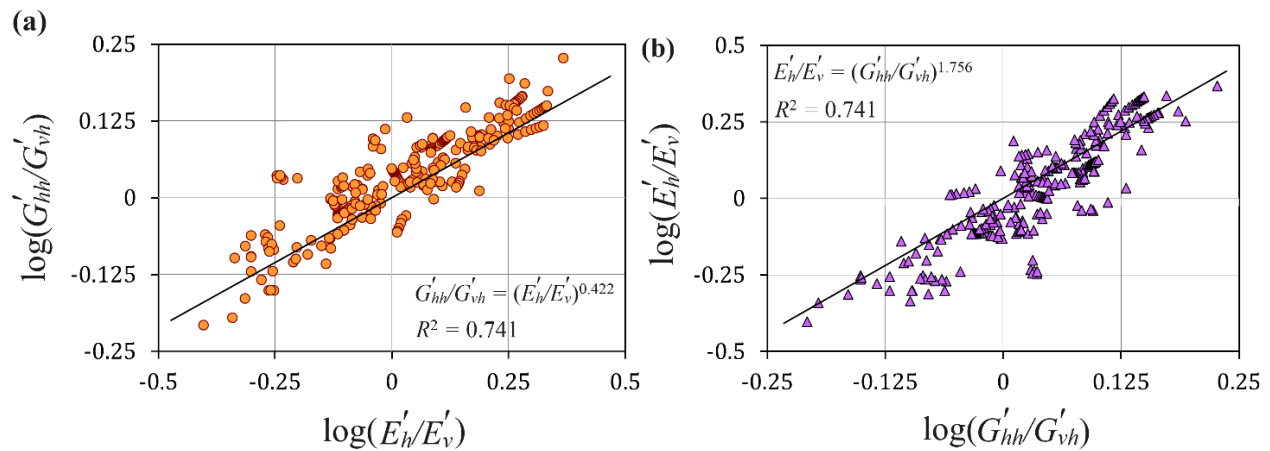


Fig. 2. The reciprocal plotting the anisotropy ratios (a)  $G'_{hh}/G'_{vh}$  versus  $E'_h/E'_v$ , and (b)  $E'_h/E'_v$  versus  $G'_{hh}/G'_{vh}$  in log scale by performing linear regression analyses for evaluating their correlations

### Conclusions

The major objectives of this study included the assessing the variations ranges of shear and Young's moduli anisotropy ratios,  $G'_{hh}/G'_{vh}$  and  $E'_h/E'_v$ , for a variety of cohesionless soils and then extraction of relating correlations among these two ratios. To this end, at first by collecting the obtained results from laboratory reports given in literature and making a comprehensive database of anisotropic elastic coefficients relating to a relatively extensive range of cohesionless soils, the values of shear and Young's moduli anisotropy ratios were calculated and then their variations under different stress conditions were also analyzed. Indeed, by conducting regression analyses on the  $G'_{hh}/G'_{vh}$  and  $E'_h/E'_v$  ratios versus the stress ratios variations  $\sigma'_h/\sigma'_v$ , the degree of dependence and variability patterns of shear and Young's moduli anisotropies were specified against the stress state. By reciprocal depicting  $G'_{hh}/G'_{vh}$  and  $E'_h/E'_v$  ratios against each other and evaluating their variability models, the magnitude of correlativity and consequently the possibility of their mutual calculation were examined. In the end, the experimental equations expressing the relations between shear modulus anisotropy  $G'_{hh}/G'_{vh}$  and Young's modulus anisotropy  $E'_h/E'_v$  were attained and introduced as the reliable correlations, as are relied on a strict database of measured anisotropic properties in cohesionless soils.

### Acknowledgements

The study is supported by the National Natural Science Foundation of China (Grant No. 52250410347). The support is gratefully acknowledged.